

دراسة امتراز أزرق الميثيلين على سطح الفحم المنشط المحضر من مخلفات نبات العصفر

أحمد طكو، د. هاني زيدان

كلية العلوم، قسم الكيمياء، جامعة إدلب

الملخص:

تناول البحث دراسة امتراز أزرق الميثيلين على سطح الفحم المنشط المحضرة في مخابر كلية العلوم من مخلفات نبات العصفر والمنشط بنسب مختلفة من هيدروكسيد البوتاسيوم (1:4-1:3-1:2-1:1) (KOH: فحم). جرت عملية التنشيط عند درجة حرارة $^{\circ}\text{C}$ (700)، إذ بلغت سعة الامتراز قيمة عظمى عندما تكون نسبة التنشيط (1:4) (KOH: فحم). درس منحني الامتراز متساوي درجة الحرارة وتبيّن أن امتراز أزرق الميثيلين على الفحم المنشط يتم وفق نموذج لأنغموير. درست الشروط التجريبية المثلث المؤثرة على امتراز أزرق الميثيلين على الفحم المنشط من زمن التلامس وpH محلول ودرجة حرارة الوسط وكمية الفحم المستعمل وتركيز أزرق الميثيلين وتبيّن أن الامتراز يكون أفضل ما يمكن في الأوساط القلوية والمعتدلة وتزداد سعة الامتراز بزيادة درجة الحرارة كما تبيّن أن كمية الفحم 0.05g أعطت أفضل قيمة للامتراز وكلما زاد تركيز صبغة أزرق الميثيلين زادت سعة الامتراز.

الكلمات المفتاحية: أزرق الميثيلين، الفحم المنشط.

Adsorption Study of Methylene Blue on the Surface of Activated Carbon Prepared from Safflower Plant Waste

Ahmed Tukko, Hani Zidan
Faculty of Science, Department of Chemistry, Idlib University

Abstract:

In this research, the adsorption of methylene blue on the surface of activated carbon prepared in the laboratories of the Faculty of Science from safflower plant waste and activated with different ratios of potassium hydroxide (KOH:Carbon) (1:1-1:2-1:3-1:4) was studied. The activation process was conducted at a temperature of 700°C, where the adsorption capacity reached its maximum value when the activation ratio was (1:4) (KOH:Carbon). The isotherm adsorption curve was studied and it was found that the adsorption of methylene blue on activated carbon follows the Langmuir model. The optimal experimental conditions affecting the adsorption of methylene blue on activated carbon, such as contact time, solution pH, medium temperature, amount of carbon used, and methylene blue concentration, were studied. It was found that the adsorption is most effective in alkaline and neutral media, and the adsorption capacity increases with the rise in temperature. Moreover, it was shown that the amount of 0.05g of carbon gave the best adsorption value, and the adsorption capacity increases as the concentration of methylene blue dye increases.

Keywords: Methylene Blue, Activated Carbon.

المقدمة:

يعد الماء عنصراً من العناصر الأساسية في إدامة الحياة. وتلوث المياه أحد أخطر المخاوف البيئية نظراً لأهمية المياه في حياتنا (Ali et al., 2021). إضافة للاستعمالات المنزلية مثل الشرب، الطبخ، الاستحمام... إلخ فإنه يستعمل بكميات كبيرة في الصناعات المختلفة والزراعة على مر السنين، تدهورت نوعية المياه العذبة بسبب أنواع مختلفة من الملوثات، هذه الملوثات شديدة الخطورة وتسبب مشاكل صحية للبشر والحيوانات والنباتات، لذلك حظيت مشكلة تلوث المياه باهتمام كبير من قبل الباحثين، إذ بدأت هذه المشكلة مع بداية التقدم الصناعي والتقني وأصبحت تتفاقم يوماً بعد يوم (Corral-Bobadilla et al., 2021). من الأمثلة على هذه الصناعات صناعة النسيج والورق ومواد البناء والجلود والبلاستيك ومستحضرات التجميل والطباعة وغيرها (Zeidan et al., 2023). تصنع ما يقرب من مليون طن من الأصباغ الاصطناعية سنوياً وأكثر من 100000 نوع من الأصباغ للاستعمال التجاري. بعد استعمالها، ما يقرب من 10 - 15 % منها تترافق في مياه الصرف الصحي التي تطلق في البيئة والموارد الطبيعية (Ali et al., 2021)، والتلوث الناتج عن الأصباغ يعد مشكلة بيئية خطيرة، خاصة في الصناعات التي تستعمل الأصباغ الصناعية، ويمكن أن تسبب هذه الأصباغ في تلوث المياه والتربيه (Ali et al., 2021)، ما يؤثر سلباً على الحياة البرية وصحة الإنسان، الأصباغ الملوثة للماء تحتوي على مجموعة متنوعة من المركبات الكيميائية التي يمكن أن تكون ضارة بالبيئة، وهذه الأصباغ غالباً ما تحتوي على مركبات عضوية معقدة مثل الأزو (azo) والأنثراكيون (anthraquinone) والفلالوسيانين (phthalocyanine). وهذه المركبات يمكن أن تكون مستقرة جداً وصعبة التحلل، ما يجعلها ملوثات مستمرة في البيئة المائية، الأصباغ الأزو، على سبيل المثال، تحتوي على روابط نيتروجينية مزدوجة ($N=N$) التي تعطيها ألوانها الزاهية، وهذه الأصباغ يمكن أن تتحلل إلى مركبات أمينية ضارة تحت ظروف معينة، والأصباغ الأنثراكيونية تحتوي على هيكل كربوني معقد يمكن أن يكون ساماً للكائنات الحية المائية (Hock & Zaini, 2018). تلوث الماء بصبغة أزرق المثلين هو نوع من

التلوث الكيميائي الذي يحدث عندما تتسرب هذه الصبغة إلى مصادر المياه، وأزرق المثنين هو صبغة صناعية تستعمل في العديد من التطبيقات مثل الأصباغ النسيجية، والأحبار، وبعض العمليات الصناعية الأخرى.(Hock & Zaini, 2018).

صبغة أزرق المثنين:

تلوث الماء بصبغة أزرق المثنين هو نوع من التلوث الكيميائي الذي يحدث عندما تتسرب هذه الصبغة إلى مصادر المياه، وأزرق المثنين هو صبغة صناعية تستعمل في العديد من التطبيقات مثل الأصباغ النسيجية، والأحبار، وبعض العمليات الصناعية الأخرى.(Hock & Zaini, 2018).

مصادر تلوث الماء بأزرق المثنين:

المصانع : التي تستعمل الصبغة في عمليات التصنيع.

المزارع : التي تستعمل المياه الملوثة في الري.

المنازل : التي تستعمل منتجات تحتوي على الصبغة ويتم تصريفها في المجاري.

تلوث الماء بأزرق المثنين يمكن أن يكون له تأثيرات سلبية على البيئة والصحة العامة، إذ يمكن أن يؤثر على الحياة المائية و يجعل المياه غير صالحة للاستعمال البشري(Hock & Zaini, 2018).

هناك العديد من العمليات التي يمكن أن تكون فعالة لإزالة هذه الملوثات السامة من البيانات المائية، اقترح الامتزاز بشكل عام ليكون واحداً من أكثر طرق الفصل الفعالة لإزالة المواد الخطرة مثل الأصباغ الاصطناعية والمعادن الثقيلة ومبيدات الآفات بسبب كفاءتها العالية، بساطتها، واستهلاكها المنخفض للطاقة، **والامتزاز أو الامتصاص (صلب-سائل)**: هو تراكم ذرات أو جزيئات مادة سائلة

(المُمترّ) على سطح مادة صلبة (الماز)، ومن أهم الخطوات في العملية اختيار مادة مازة مناسبة ويعد الكربون المنشط مادة صلبة مسامية تمتلك مساحة سطحية داخلية كبيرة وتركيباً مسامياً متطرضاً (K. HAMMOUD et al., 2022)، ونتيجة لامتلاك هذا الصفات جعل منه مادة ذات سعة امتراز عالية للعديد من المواد الكيميائية الغازية منها والسائلة، وتبلغ المساحة السطحية النوعية للكربون المنشط عادتاً 300-2000 m^2/g وأحياناً قد تصل حتى 5000 m^2/G (Hussein et al., 2023)، يستخدم الفحم المنشط على نطاق واسع لفوائده الصحية وتطبيقاته المختلفة، إذ يستعمل لإزالة المواد الخطرة مثل الأصباغ الاصطناعية من الأوساط المائية لذا يتواجد في فلاتر الماء، قارئنا سعة الامتراز الأفضل بين أربع عينات من الفحم المنشط المحضر في مخابر كلية العلوم من مخلفات نبات العصفر والمنشط بهيدروكسيد البوتاسيوم بنسب مختلفة (1:1، 1:2، 1:3، 1:4) (فحم KOH) ورمزات على الترتيب (KC-4, KC-3, KC-2, KC-1). عند درجة حرارة 700 °C. دراسة الشروط الأمثل لعملية الامتراز وذلك لصبغة أزرق المثيلين.

تبغ أهمية المقالة من دراسة جميع المؤشرات على عملية امتراز صبغة أزرق المثيلين من المحاليل المائية التي لها تأثيرات سلبية على البيئة والصحة العامة، إذ يمكن أن يؤثر على الحياة المائية و يجعل المياه غير صالحة للاستعمال البشري (Hock & Zaini, 2018)، وذلك لمعرفة الشروط الأمثل لعملية الامتراز من تركيز وزمن ملامسة درجة حرارة و PH الوسط لإجراء هذه العملية باقل تكلفة ممكنة وأكثر جودة.

من أهداف هذا البحث مقارنة سعة الامتراز الأفضل بين أربع عينات من الكربون المنشط لامتراز صبغة أزرق المثيلين، ودراسة الشروط الأمثل لامتراز صبغة أزرق المثيلين من محلول المائي، توفير الوقت والجهد والمال والوصول إلى الامتراز الأمثل لصبغة أزرق المثيلين.

حضر الكربون المنشط من عدت مخلفات واستعماله لامتراز الملوثات من المحاليل المائية إذ حضر الفحم من نوى الماكو ونشط بهيدروكسيد الصوديوم بنسب مختلفة وكانت أفضل نسبة (1:2) وزناً. وقورنت سعة امترازه مع فحم منشط تجاري

بالنسبة لصبغة أزرق المثيلين كانت نسبة امتزاز الفحم المحضر (232.4 mg/g) أما بالنسبة للفحم المنشط التجاري (90 mg/g) (Hussein et al., 2023). حضرت فرح وزملائهما الفحم من قشور الحبة الخضراء، وتم نشطت بهيدروكسيد البوتاسيوم وكانت أفضل نسبة (29) من الأساس القلوي إلى (1g) من القشور الحبة وبمقارنة سعة امتزاز هذا الفحم المحضر مع فحم منشط تجاري (219.1 mg/g) بالنسبة لصبغة أزرق المثيلين كانت نسبة امتزاز الفحم المحضر (K. HAMMOUD et al., 90 mg/g) أما بالنسبة للفحم المنشط التجاري (2022).

حضر خالد وزملائهما الفحم من مخلفات نبات الفريص (Urticarious) ونشطه باستعمال هيدروكسيد الصوديوم (NaOH) (1:2) كتلة حيوية عند درجة حرارة °C (300) مدة ساعتين كانت سعة الامتزاز من أزرق المثيلين (Taha et al., 2019) 65mg/g.

حضر فاضل وزملائهما الفحم من ساق الذرة ونشطه بهيدروكسيد البوتاسيوم بنسبة (1:4) KOH كتلة حيوية إذ كانت سعة الامتزاز من أزرق المثيلين (Yuliusman et al., 2020) 602mg/g وذلك عند درجة حرارة °C (700).

2-المواد وطرائق البحث:

2-1- الأجهزة والادوات:

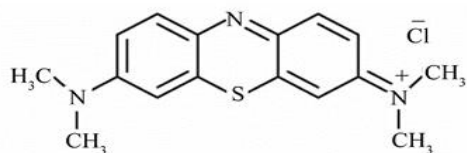
مقياس درجة الحموضة PH رقمي من شركة (WinCo, Taiwan) دقتها 0.01، خلاط مغناطيسي مع سخان من شركة (Thermomac USA)، ميزان حساس بدقة $\pm 0.001g$ من شركة (DENSI, Turkey)، جهاز سبيكتروفوتومتر من شركة (OPTIMUM)، أدوات مخبرية زجاجية مختلفة، قمع بوخر، مرشحات ميكروية دقتها $0.45\mu m$.

2-2-المواد الكيميائية:

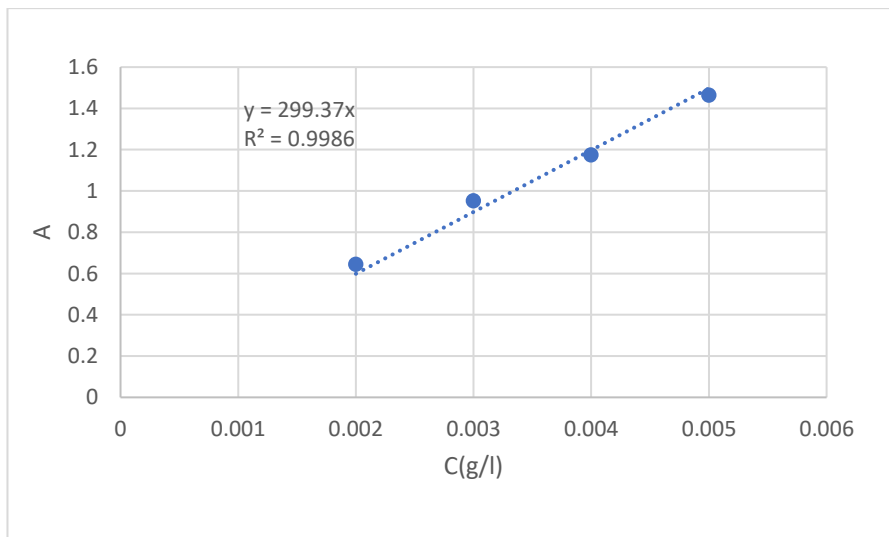
صبغة أزرق المثيلين ($C_{12}H_8ClN_3S \cdot 2H_2O$) نقاوته 100% من شركة CAS:1310- (MERCK). هيدروكسيد البوتاسيوم (KOH) نقاوته (99%wt) (36%wt) من شركة (KiMYALAB). حمض كلور الماء (HCl) نقاوته (Laboratory Reagent) من شركة (1.18g/ml) (1:1, 1:2, 1:3, 1:4) (KOH:فحم) ورمزات على الترتيب (KC-4, KC-3, KC-2, KC-1).

3-دراسة امتراز أزرق المثيلين من المحاليل المائية:

أزرق المثيلين هي صبغة كاتيونية أحادية التكافؤ كتلتها المولية (319.85g/mol) صيغتها:



حضر محلول الأم بإذابة (1g) من الصبغة في 1L من الماء المقطر واستعمل لتحضير السلسلة العيارية بالتركيز التالية (g/L) 0.002- 0.003- 0.004- 0.005- 0.00664nm (Yuliusman et al., 2020) ثم قيست الامتصاصية للمحاليل السابقة عند الطول الموجة 664nm ومن ثم رُسمت العلاقة بين الامتصاصية بدلالة تركيز صبغة أزرق المثيلين كما هو موضح بالشكل (1).



الشكل (1) يمثل سلسلة عيارية لأزرق الميثيلين

1-3-1-حساب كمية الامتراز من أزرق الميثيلين:

أخذ 0.1g من كل عينة من عينات الفحم الأربعه المحضر تبعاً لكمية KOH المستعمل في التنشيط ووضعه كل عينة في دورق مخروطي سعة 100ml يحوي على 50ml من محلول أزرق الميثيلين بتركيز ثابت 1g/L ودرجة حموضة pH=5.2 درجة حرارة ثابته °C 8 ثم وضعت المحاليل الأربعه على رجاج لمدة 24h، بعد ذلك رُشحت المحاليل ومن ثم قيست الامتصاصية لكل محلول من المحاليل الأربعه عند الطول الموجي 664nm وذلك بعد التمديد لتصبح الامتصاصية ضمن امتصاصية السلسلة العيارية فكان التركيز حسب الجدول (1) حُسبت سعة الامتراز حسب القانون التالي:

$$Q = \frac{V(C_0 - C)}{m} \quad (1)$$

إذ Q الكمية الممتدة من صبغة أزرق الميثيلين على سطح الفحم المنشط (mg/g)، V حجم محلول المائي للصبغة ب(L)، C تركيز محلول المائي للصبغة بعد عملية

الامتراز (mg/L)، C_0 تركيز محلول المائي للصبغة قبل عملية الامتراز (L)، m كتلة الفحم المنشط المستعمل (g).

الجدول (1) : يمثل تغير كمية الامتراز بتغير نوع الفحم.

العينة	$V(\text{L})$	$C(\text{g/L})$	$C_0 (\text{g/L})$	$Q(\text{mg/g})$
KC-1	0.075	0.011	0.2	141.75
KC-2	0.200	0.002129	0.2	396
KC-3	0.300	0.002496	0.2	592.5
KC-4	0.450	0.002584	0.2	888.37

رسمت العلاقة بين تغير سعة الامتراز بدلالة نوع عينة الفحم المنشط كما هو موضح بالشكل (2)، إذ تبين النتائج أن عينة الفحم المنشط (4:1) (فحم: KOH) أعطت أفضل قيمة لسعة الامتراز.



الشكل (2) العلاقة بين سعة الامتراز بدلالة تغيير نوع الفحم المنشط

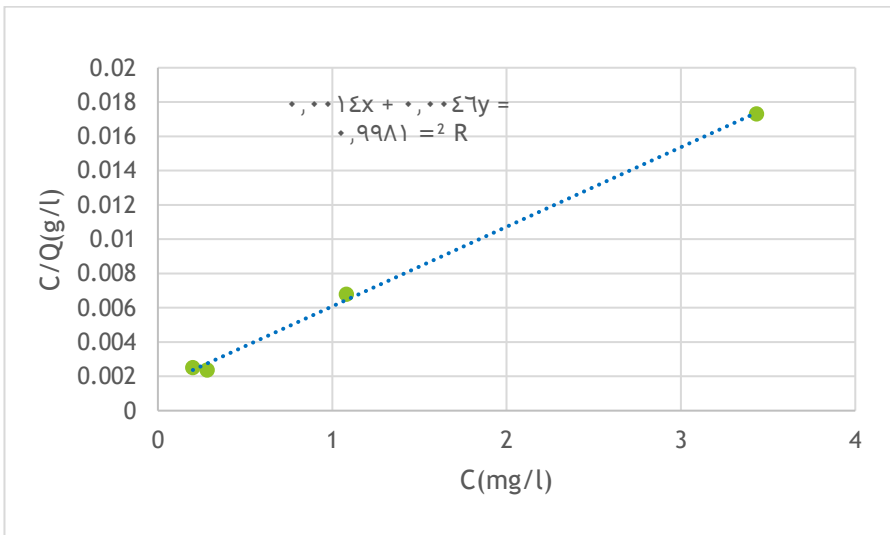
3-2-2-تطبيق علاقة لأنغموير وفرنديش لتحليل بيانات الامتراز :

يعبر عن علاقة لأنغموير الامترازية بشكلها الخطى بالعلاقة التالية:

$$\frac{C}{Q} = \frac{C}{Q_M} + \frac{1}{Q_M * B} \quad (2)$$

إذ تمثل Q_M سعة الطبقة الأحادية و b ثابت لانغم، رُسمت العلاقة بين $\frac{C}{Q}$

بدالة C كما هو موضح بالشكل (3) :



الشكل (3) يمثل تطبيق علاقة لانغموير لأزرق المثيلين

$$s \text{ هي ميل الخط المستقيم} \quad Q_M = \frac{1}{s} = 217.39 \frac{\text{MG}}{\text{G}}$$

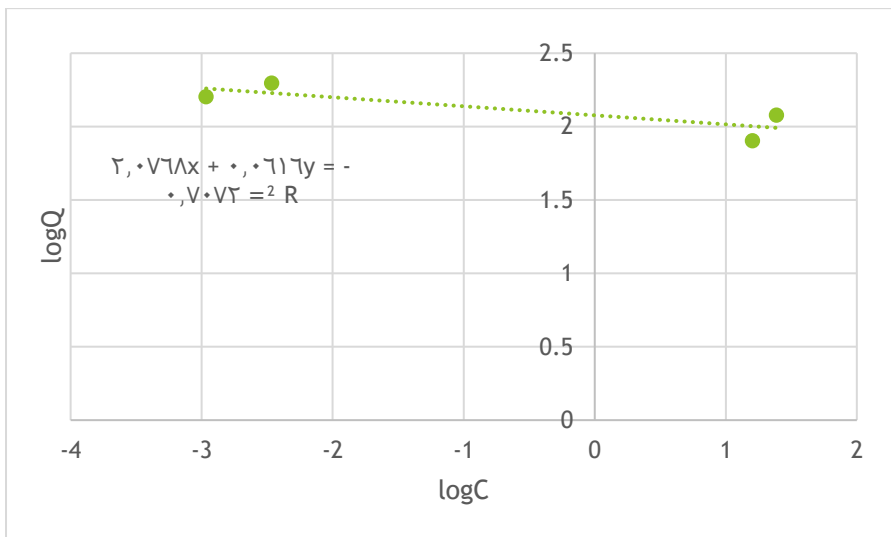
$$b = 3.286 \text{ L/mg}$$

يعبر عن علاقة فرندلش الامترازية بشكلها الخطى بالعلاقة التالية:

$$\log Q = \log K + \frac{1}{n} \log C \quad (3)$$

و K يمثلان ثابت فرندلش اللذان يعبران عن سعة الامتراز وشدة، رُسمت

العلاقة بين $\log Q$ بدالة $\log C$ كما هو موضح بالشكل (4) :



الشكل (4) يمثل تطبيق علاقة فرندلش لأزرق الميثيلين

بالمقارنة بين معامل الارتباط عند تطبيق علاقة لأنغموير إذ قيمته $R^2 = 0.9981$ ومعامل الارتباط عند تطبيق علاقة فرندلش $R^2 = 0.7072$ نستنتج أن امتراز صبغة أزرق الميثيلين على سطح الفحم المنشط من النوع الانغميري أي الامتراز يكون على شكل طبقة واحدة.

نحسب مساحة الفحم المنشط من العلاقة رقم (4) كل التالي:

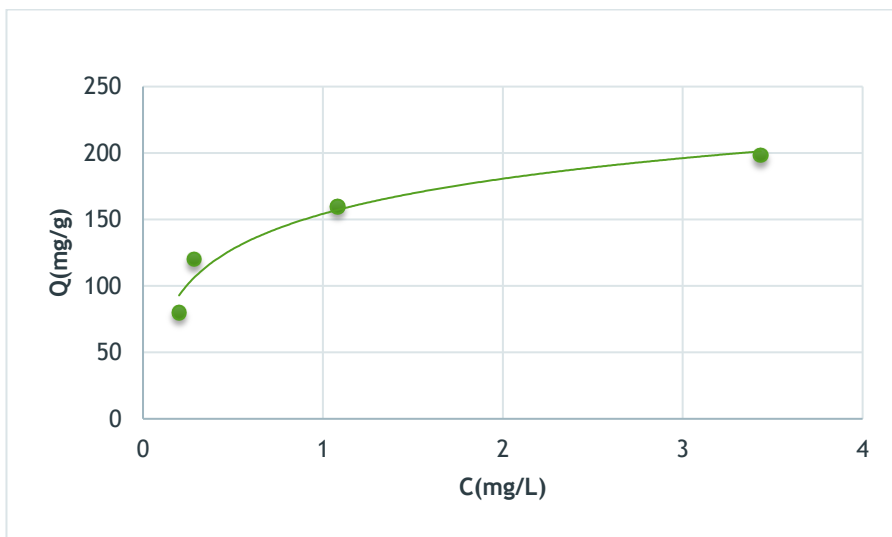
$$S(M^2/G) = Q_M * A * L \quad (4)$$

$$S = 217.39 * 1.2 * 10^{-20} * 6.02 * 10^{23} = 1570.43 \text{ m}^2/\text{g}$$

وهي المساحة الفحم المنشط المتقبلة لصبغة أزرق الميثيلين حسب لأنغموير.

2-3-1-منحنى امتراز أزرق الميثيلين متساوي درجة الحرارة:

رُسمت العلاقة بين تغيرات سعة الامتاز بدلالة التركيز التوازي لأزرق الميثيلين كما هو موضح بالشكل (5):



الشكل (5) يمثل منحنى الامتاز متساوي الدرجة لأزرق الميثيلين

تبين النتائج أن منحنى الامتاز متساوي الدرجة من النوع L حسب جيليز ورفاقه أي أن امتراز صبغة أزرق الميثيلين على سطح الفحم المنشط المحضر لانعمويري وهذا يوافق النتيجة عند تطبيق علاقة لانعمويري في الشكل (3).

4-3-2-العوامل المؤثرة على امتراز صبغة أزرق الميثيلين على الفحم:

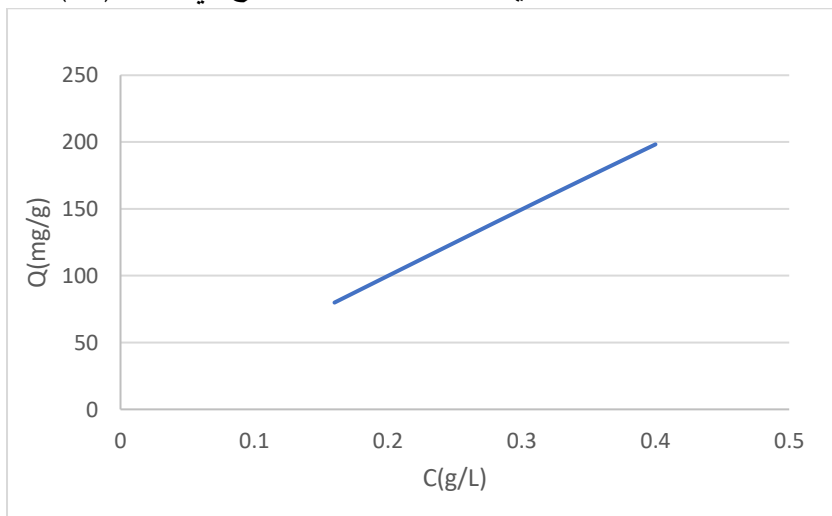
4-3-2-تأثير تغيير تركيز الصبغة على الكمية الامتاز:

أخذت أربع كميات من الفحم المنشط المحضر وزن كل منها 0.1g ووضعت كل منها في دورق مخروطي سعة 100ml تحوي 50ml من محلول صبغة أزرق الميثيلين بتراكيم متغيرة $L(g/L)$ (0.32-0.24-0.16) ووضعت على رجاج ميكانيكي مدة 15min مع التحريك، ثم رشحت المحاليل السابقة وقيس الامتصاصية عند الطول الموجي 664nm، يوضح الجدول (2) النتائج التي وصلت إليها.

الجدول (2): يمثل تغير سعة الامتراز بتغير تركيز المحلول.

العينة	$m(g)$	$C_0(g/l)$	$C(g/l)$	$V(mL)$	$Q(mg/g)$
1	0.1	0.16	0.0002	50	79.898
2	0.1	0.24	0.00028	50	119.858
3	0.1	0.32	0.001082	50	159.46
4	0.1	0.4	0.003434	50	198.283

رُسمت العلاقة بين كمية الامتراز بدلالة التركيز الابتدائي كما هو في الشكل(5) الذي يدل على أن كمية الامتراز الأفضل عند التركيز العالية أي أن امتراز أزرق الميثيلين تزداد بزيادة التركيز كما هو موضح في الشكل(12):



الشكل (6) تأثير تغير التركيز على سعة الامتراز

نلاحظ حسب الشكل(6) أن بزيادة تركيز الصبغة تزداد كمية الامتراز على سطح الفحم المنشط أي أن التناوب طردي خطٍّي.

4-3-2-تأثير تغيير كتلة الفحم المنشط على سعة الامتراز:

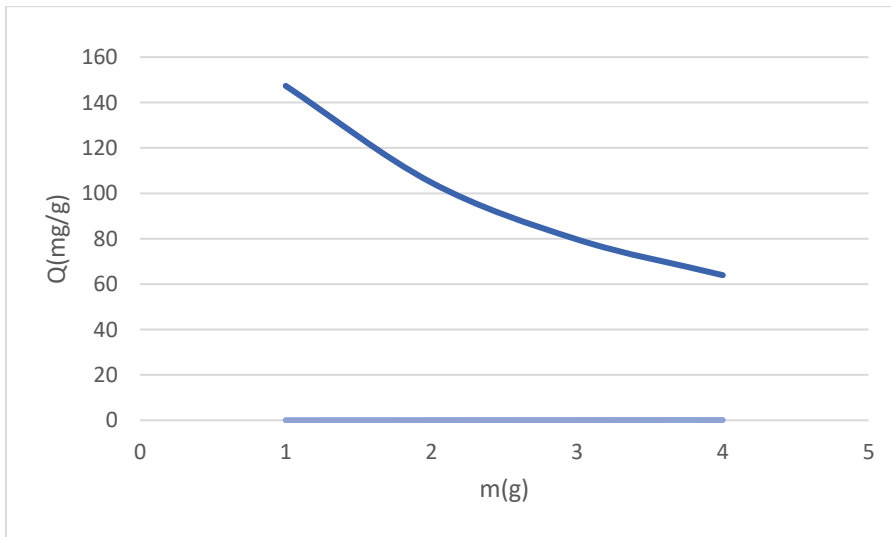
أخذت أربع كميات من الفحم المنشط المحضر حسب الوزن التالي (0.05-0.1-0.075-0.125g) ووضعت كل منها في دورق مخروطي سعة 100ml تحوي 40ml محلول أزرق الميثيلين بتركيز ثابت 0.2g/L ووضعت على رجاج ميكانيكي مدة 15min.

ثم رشحت المحاليل السابقة وقيست الامتصاصية عند الطول الموجي 664nm، يوضح الجدول (3) النتائج التي تم التوصل اليها.

الجدول(3): يمثل تغير سعة الامتراز بتغيير كتلة الفحم.

العينة	$m(g)$	$C_0(g/l)$	$C(g/l)$	$V(mL)$	$Q(mg/g)$
1	0.05	0.2	0.015833	40	147.3334
2	0.075	0.2	0.003598	40	104.7477
3	0.1	0.2	0.000785	40	79.686
4	0.125	0.2	0.000174	40	63.94442

رسمت العلاقة بين سعة الامتراز بدلالة كتلة الفحم mg كما هو موضح في الشكل(11). إذ تبين النتائج أن سعة الامتراز تكون أكبر ما يمكن عند $m=0.05g$ وبالتالي فإن امتراز أزرق الميثيلين عند كميات الفحم المنخفضة تكون أفضل ما يمكن.



الشكل (7) تأثير تغيير كتلة الفحم

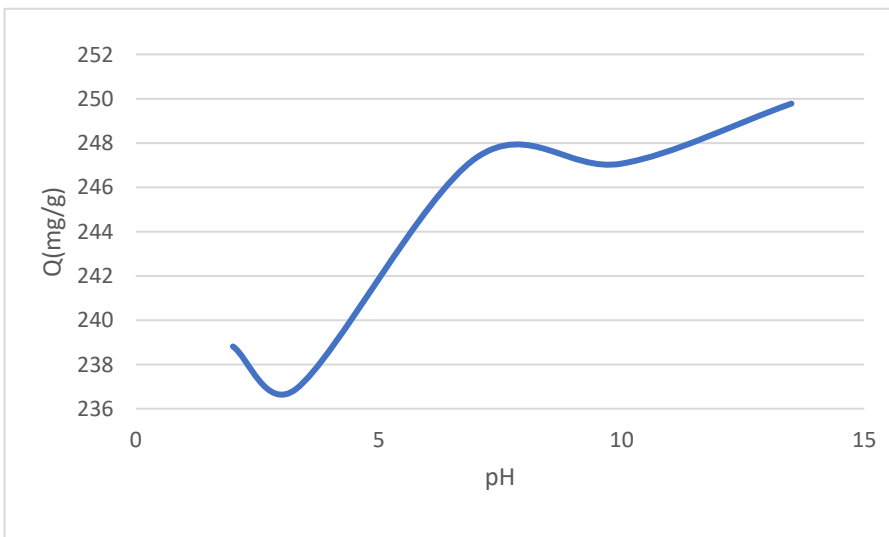
3-4-3-تأثير قيمة PH الوسط:

أخذت خمس كميات من الفحم المنشط المحضر وزن كل منها 0.04g ووضعت كل منها في دورق مخروطي سعة 100ml تحوي 20ml من محلول شوارد الكروم السادس ثم ضبط قيم pH محاليل العينات الخمس عند القيم (2 - 3.3 - 7 - 10 - 13.5) لكل منها على الترتيب، وضيغت العينات على رجاج ميكانيكي لمدة 10min، ثم رشحت المحاليل السابقة وقيس الامتصاصية عند الطول الموجي 664nm، يوضح الجدول (4) النتائج التي تم التوصل اليها.

الجدول(4): يمثل تغير سعة الامتازار بتغير PH.

العينة	pH	m(g)	C_0 (g/l)	C(g/l)	V(mL)	Q(mg/g)
1	2	0.04	0.2	0.008952	50	238.81
2	3.3	0.04	0.2	0.010489	50	236.889
3	7	0.04	0.2	0.002148	50	247.315
4	10	0.04	0.2	0.002345	50	247.069
5	13.5	0.04	0.2	0.000177	50	249.777

رسمت العلاقة بين سعة الامتازار بدلالة PH الوسط كما هو موضح في الشكل(8). إذ تبين النتائج أن سعة الامتازار تكون أكبر نستنتج أن أفضل وسط للامتازار أزرق الميثيلين يكون في الوسط المعادل أو الوسط القلوي.



الشكل(8) تأثير PH الوسط

4-3-2- دراسة تأثير زمن التلامس على كمية الامتازار :

أخذت أربع كميات متساوية من الفحم المنشط المحضر كل منها 0.15g ووضعت كل كمية في دورق مخروطي سعته 100ml يحوي 30ml من أزرق

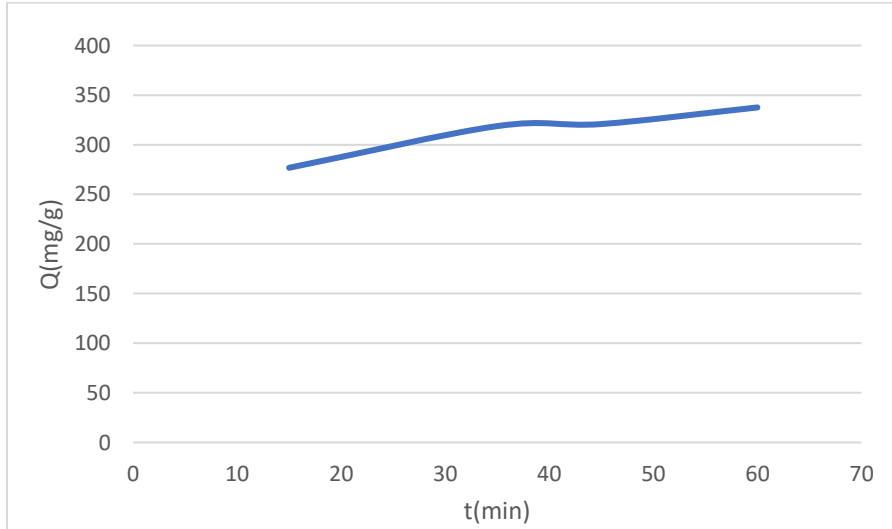
الميثيلين تركيزه $L/0.8g$ ، وحركت العينات الأربع بواسطة راج ميكانيكي بأزمنة مختلفة كل منها $min(15-30-45-60)$ على الترتيب.

رُشحت العينات ومن ثم قياس الامتصاصية للرشاحة لكل محلول عند طول موجة $664nm$ ، والجدول (5) يوضح النتائج التي وصل إليها.

الجدول (5): يمثل تغير سعة الامترار بتغير زمن التلامس.

العينة	$t(min)$	$m(g)$	$C(g/l)$	$(g/l)C_0$	$V(mL)$	$Q(mg/g)$
1	15	0.1	0.2464	0.8	50	276.8
2	30	0.1	0.16242	0.8	50	318.79
3	45	0.1	0.15825	0.8	50	320.875
4	60	0.1	0.12485	0.8	50	337.575

رسمت العلاقة بين سعة الامترار بدلالة الزمن كما هو موضح بالشكل (8)، إذ تبين أن سعة الامترار تزداد بازدياد زمن التلامس وبعد الزمن $35min$ تقريرًا ثبت قيمة سعة الامترار أو يكون التغير طفيف وعليه فان زمن التلامس الأفضل هو $35min$.



الشكل (9) تأثير زمن التلامس

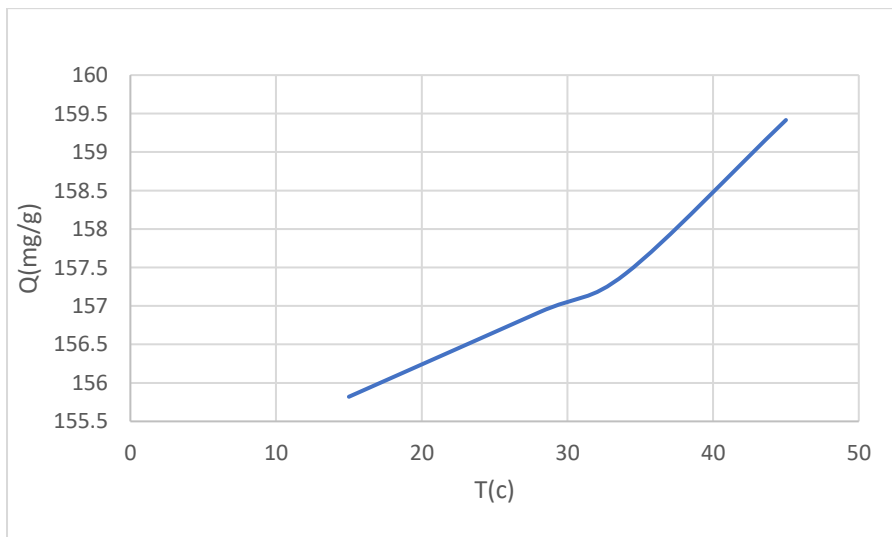
5-4-3-2 دراسة تأثير درجة الحرارة:

أخذت أربع كميات من الفحم المنشط المحضر وزن كل منها 0.1g ووضعت كل منها في دورق مخروطي سعة 100ml تحوي 40ml من محلول أزرق الميثيلين بتركيز ثابت 0.4g/L ووضعت كل أربلين ماير على سخان كهربائي ضمن حمام مائي وضبطت حرارة المحاليل (45-34-28-15) مدة 30min مع التحريك، ثم رشحت المحاليل السابقة وقيس الامتصاصية عند الطول الموجي 664nm، يوضح الجدول (6) النتائج التي تم وصل إليها.

الجدول (6): يمثل تغير سعة الامترار بتغير درجة الحرارة.

العينة	T(c)	m(g)	C(g/l)	$\frac{g}{l}C_0$ (V(mL)	Q(mg/g)
1	15	0.1	0.01045	0.4	40	155.82
2	28	0.1	0.00772	0.4	40	156.912
3	34	0.1	0.006447	0.4	40	157.42
4	45	0.1	0.00146	0.4	40	159.416

رسمت العلاقة بين سعة الامترار بدلالة $T^{\circ}C$ الوسط كما هو موضح في الشكل(10). إذ تبين النتائج أن سعة الامترار تكون أكبر عند درجة حرارة العالية وبالتالي فإن امترار أزرق الميثيلين على سطح الفحم المنشط المحضر يكون كيميائي.



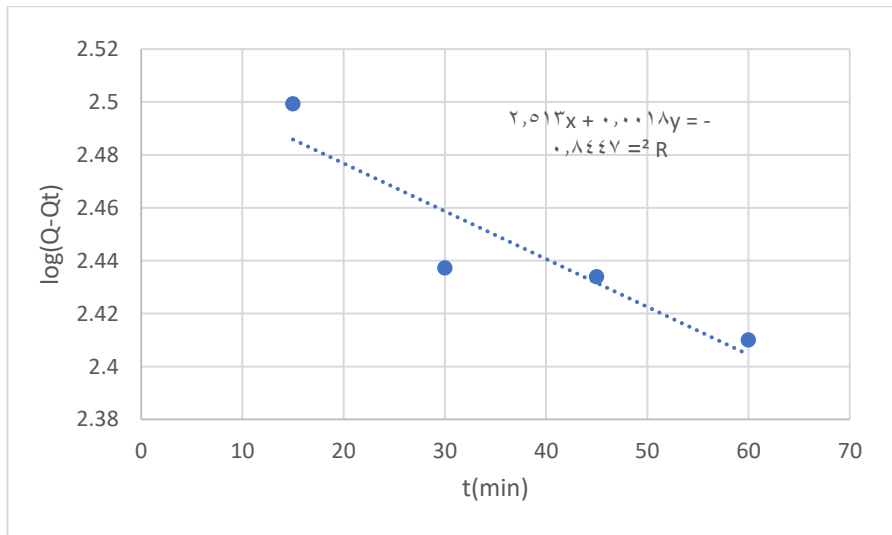
الشكل (1) (تأثير درجة الحرارة

2-3-5-دراسة حركية امتزاز صبغة أزرق المثنين على سطح الفحم:

تعطى علاقة سرعة حركة التفاعل من المرتبة الأولى الظاهرية بالعلاقة:

$$\log(Q - Q_t) = \log(Q) - \frac{K_1}{2.303} t \quad (5)$$

إذ أن K_1 ثابت سرعة التفاعل من المرتبة الأولى الظاهري، و Q سعة الامتزاز العظمى، و Q_t كمية الامتزاز في اللحظة t ، برسم $\log(Q - Q_t)$ بدلالة t ينتج الخط المستقيم ميله $s = -\frac{K_1}{2.303}$ ومنه فإن $K_1 = 0.00415 \text{ min}^{-1}$ وذلك حسب المخطط التالي:



الشكل (2) (تطبيق علاقة المرتبة 1 الظاهرية

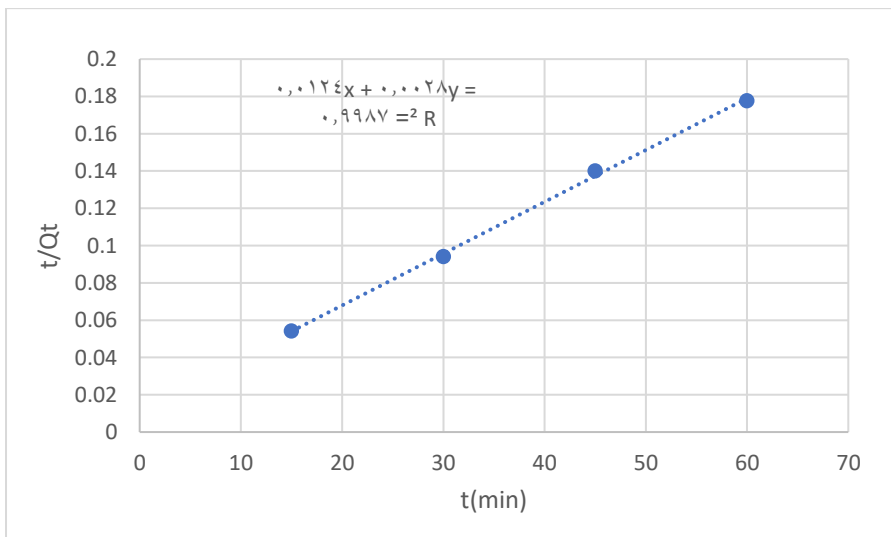
تعطى علاقة سرعة حرکية التفاعل من المرتبة الثانية الظاهرية بالعلاقة:

$$\frac{t}{Q_t} = \frac{1}{K_2 * Q_e^2} + \frac{1}{Q_e} t \quad (6)$$

إذ إن K_2 ثابت سرعة التفاعل من المرتبة الثانية الظاهري، و Q سعة الامتاز العظمى، و Q_t كمية الامتاز في اللحظة t ، برسم $\frac{t}{Q_t}$ بدالة t ينتج الخط المستقيم ميله $s = \frac{1}{Q}$ ومنه

$$K_2 = 0.0006323(\text{g}/\text{mg} \cdot \text{min}) \quad Q = 357.1432 \text{mg/g}$$

وذلك حسب المخطط التالي:



الشكل (3) تطبيق علاقة المرتبة 2 الظاهرية

نستنتج ما سبق أن التفاعل من المرتبة الثانية الظاهرية حسب معامل الارتباط إذ إنه كان قيمته $R^2 = 0.9987$ وهي أقرب إلى الواحد عند تطبيق علاقة السرعة من المرتبة الثانية الظاهرية.

3- النتائج والمناقشة:

تبين حسب الدراسة أن أفضل سعة امتزاز أزرق المثيلين والتي حضرت باستعمال أربع أضعاف كتلة الفحم من هيدروكسيد البوتاسيوم(4:1 KOH: فحم). إن منحني الامتزاز متساوي الدرجة من النوع L حسب تصنيف جيلز ورفاقه أي امتزاز لأنغمويري وكذلك امتزاز صبغة أزرق المثيلين تحقق علاقة لأنغمويري إذ إن معامل الارتباط قيمته $R^2 = 0.9981$ كان أقرب إلى 1 أي الامتزاز كان على طبقة واحدة، والمساحة المتقبلة للفحم المنشط حسب لأنغمور للعينة 4 KC-4 هي $1570.43 \text{ m}^2/\text{g}$. إن أفضل وسط للامتزاز أزرق المثيلين يكون في الوسط المعتمد أو الوسط القلوي. وبزيادة تركيز الصبغة تزداد سعة الامتزاز على سطح الفحم المنشط أي أن التاسب طردي، وكلما زادت كتلة الفحم تتناقص سعة الامتزاز أزرق المثيلين أي أن التاسب عكسي، وسعة الامتزاز تزداد بزيادة زمن التلامس بين الفحم والصبغة

ولكن بكمية قليلة ما يدل على أن ارتباط الصبغة على سطح الفحم يكون سريع، وبزيادة درجة الحرارة تزداد سعة الامتاز من الصبغة على سطح الفحم المنشط. وأن ارتباط الصبغة على سطح الفحم المنشط من المرتبة الثانية الظاهرية حسب معامل الارتباط إذ إنه كان قيمته $R^2 = 0.9987$ وهي أقرب إلى الواحد عند تطبيق علاقة السرعة من المرتبة الثانية الظاهرية.

المراجع: 4-

- Ali, K., Zeidan, H., & Martí, M. E. (2021). Evaluation of olive pomace for the separation of anionic dyes from aqueous solutions: Kinetic, thermodynamic, and isotherm studies. Desalination and Water Treatment, 227, 412–424. <https://doi.org/10.5004/dwt.2021.27285>
- Corral-Bobadilla, M., Lostado-Lorza, R., Somovilla-Gómez, F., & Escribano-García, R. (2021). Effective use of activated carbon from olive stone waste in the biosorption removal of Fe(III) ions from aqueous solutions. Journal of Cleaner Production, 294. <https://doi.org/10.1016/j.jclepro.2021.126332>
- Hock, P. E., & Zaini, M. A. A. (2018). Activated carbons by zinc chloride activation for dye removal – a commentary. Acta Chimica Slovaca, 11(2), 99–106. <https://doi.org/10.2478/acs-2018-0015>
- Hussein, A., Mohammed, H., Ali, R., & Sulymian, E. (2023). Preparation of Activated Carbon from Mango Nuclei and Study of Its Physical Properties and Chemical Using Carbonization and Chemical Treatment. College Of Basic Education Research Journal, 19(1), 805–816. <https://doi.org/10.33899/berj.2023.178139>
- K. HAMMOUD, F., Ali HUSSEIN, A., & Z.SULYMAN, E. (2022). Preparation of Activated Carbon From (Pistacia Khinjuk Peels) and Study Its Chemical Properties. MINAR International Journal of Applied Sciences and Technology, 04(03), 240–248. <https://doi.org/10.47832/2717-8234.12.25>
- Taha, O., Tawfiq, K., & Jarullah, S. (2019). Preparation of Activated Carbon from seeds residues of (*Urtica dioica*) plants. Journal of Education and Science, 28(3), 1–5. <https://doi.org/10.33899/edusj.2019.162970>
- Yulusman, Farouq, F. Al, Sipangkar, S. P., Fatkhurrahman, M., & Putri, S. A. (2020). Preparation and characterization of activated carbon from corn stalks by chemical activation with KOH and NaOH. AIP Conference Proceedings, 2255(September). <https://doi.org/10.1063/5.0014403>
- Zeidan, H., Can, M., & Martí, M. E. (2023). Synthesis, characterization, and use of an amine-functionalized mesoporous silica SBA-15 for the removal of Congo Red from aqueous media. Research on Chemical Intermediates, 49(1), 221–240. <https://doi.org/10.1007/s11164-022-04876-6>